

Obliczenia naukowe lista nr 5

Sebastian Woźniak 268491

January 2024

1 Opis problemu

Potrzebny jest moduł posiadający funkcje do efektywnego rozwiązywania układu równań liniowych $Ax = b$, dla danej macierzy współczynników $A \in \mathbb{R}^{n \times n}$ i wektora prawych stron $b \in \mathbb{R}^n$, $n \geq 4$. Z powodu dużej ilości zer w macierzy A oraz jej specyficznej strukturze, tj.:

$$A = \begin{bmatrix} A_1 & C_1 & 0 & 0 & 0 & \dots & 0 \\ B_2 & A_2 & C_2 & 0 & 0 & \dots & 0 \\ 0 & B_3 & A_3 & C_3 & 0 & \dots & 0 \\ \vdots & \ddots & \ddots & \ddots & \ddots & \ddots & \vdots \\ 0 & \dots & 0 & B_{v-2} & A_{v-2} & C_{v-2} & 0 \\ 0 & \dots & 0 & 0 & B_{v-1} & A_{v-1} & C_{v-1} \\ 0 & \dots & 0 & 0 & 0 & B_v & A_v \end{bmatrix}, \quad (1)$$

gdzie $v = \frac{n}{l}$ i l jest rozmiarem wszystkich kwadratowych macierzy wewnętrznych, będzie potrzebna specjalna struktura optymalizująca wykorzystanie pamięci.

2 Struktura MyMatrix

Struktura służy do efektywnego pamięciowo przechowywania macierzy A oraz związanych z nią parametrów:

```
struct MyMatrix:
    n - rozmiar macierzy A
    l - rozmiar wewnętrznych macierzy A_k, B_k, C_k
    v - liczba wewnętrznych macierzy
    A - v-elementowa tablica bloków wewnętrznych A_k
    B - (v-1)-elementowa tablica bloków wewnętrznych B_k
    C - (v-1)-elementowa tablica bloków wewnętrznych C_k
```

Tablica B oraz C są w rzeczywistości v -elementowe jednak istotne bloki znajdują się odpowiednio pod indexami 2:v oraz 1:v-1. Dzięki takiemu zapisowi jesteśmy w stanie uzyskać złożoność pamięciową $O(v \cdot l^2)$ co sprowadza się do $O(n)$, gdy l jest stałą.

2.1 Indeksowanie elementów macierzy

Aby ułatwić operacje na strukturze powstała funkcja obliczająca index wartości w jednej z tablic należących do struktury *MyMatrix* oraz jej rząd oraz kolumnę wewnątrz danego bloku wewnętrznego, przyjmując rzeczywisty numer wiersza oraz kolumny w macierzy o rozmiarze $n \times n$.

Algorithm 1: priv_mymatrix_get_idx

Data: struct MyMatrix - m, column number - i, row number - j

Result: block column - iv, block row - jv,

inside block column number - il, inside block row number - jl

```

1 iv =  $\lfloor \frac{i-1}{m.l} \rfloor + 1$ 
2 jv =  $\lfloor \frac{j-1}{m.l} \rfloor + 1$ 
3 il =  $(i - 1) \bmod m.l + 1$ 
4 jl =  $(j - 1) \bmod m.l + 1$ 
5 return iv, jv, il, jl
```

Z obliczonymi wartościami możemy odczytać lub przypisać wartość do macierzy MyMatrix wiedząc, że gdy $iv = jv$ to $A[i, j]$ dla kwadratowej macierzy A odpowiada $MyMatrix.A[iv][il, jl]$. Gdy $iv = jv + 1$ to $MyMatrix.B[jv][il, jl]$, a dla $iv + 1 = jv$, $MyMatrix.C[iv][il, jl]$. W każdym innym przypadku wartością pod danym indexem będzie 0 (nie jest zapisana w strukturze MyMatrix). Pozwala to na prostą implementację funkcji mymatrix_set oraz mymatrix_get.

2.2 Przystawianie rzędów

Dla wariantów algorytmów, w których odbywa się częściowy wybór elementu głównego potrzebna jest funkcja umożliwiająca przestawienie wybranych rzędów. Znajac specyfikację macierzy oraz zakres numerów rzędów wystarczającą implementacją do API struktury MyMatrix będzie:

Algorithm 2: mymatrix_swap_rows

Data: struct MyMatrix - m, row number - x, row number - y

Result: MyMatrix with swapped row x and y

```
1 xv, yv, xl, yl = priv_mymatrix_get_idx(m, x, y)
2 for j ← 1 to m.l do
3     if xv == yv then
4         swap(m.A[xv][xl, j], m.A[yv][yl, j])
5         if xv > 1 then
6             swap(m.B[xv - 1][xl, j], m.B[yv - 1][yl, j])
7         if yv < m.v then
8             swap(m.C[xv][xl, j], m.C[yv][yl, j])
9     else if yv == xv + 1 then
10        swap(m.A[xv][xl, j], m.B[yv - 1][yl, j])
11        if xv > 1 then
12            m.B[xv - 1][xl, j] = 0
13        if yv < m.v then
14            swap(m.C[xv][xl, j], m.A[yv][yl, j])
```

Iterując po elementach należących do rzędu w wewnętrznych strukturach z rzędu x podmieniamy je z elementami ze struktur wewnętrznych z rzędu y . Funkcja na wejściu zapewnia, że $x < y$.

3 Rozwiązywanie układu $Ax = b$ metodą eliminacji Gaussa

Pierwszą częścią modułu jest funkcja, która przyjmuje macierz A zapisaną w strukturze MyMatrix oraz wektor prawych stron b i rozwiązuje równanie $Ax = b$ metodą eliminacji Gaussa. Do wyboru jest wariant z częściowym wyborem elementu głównego (b) oraz bez (a). Algorytm wyprowadza macierz górną trójkątną i jego standardowa wersja ma złożoność obliczeniową $O(n^3)$, jednak wykorzystując specjalną strukturę macierzy jesteśmy w stanie uzyskać złożoność $O(n)$.

3.1 Zmodyfikowany algorytm eliminacji Gaussa (a)

3.1.1 Opis i złożoność obliczeniowa

Algorytm oblicza macierz górną trójkątną i następnie wykorzystuje ją do obliczenia wartości z wektora x .

Algorithm 3: gauss_elimination (a)

```
1 //Wyznaczenie macierzy górnej trójkątnej
2 for  $k \leftarrow 1$  to  $A.n - 1$  do
3   for  $i \leftarrow k + 1$  to  $\min(n, k + A.l)$  do
4     mult = mymatrix_get(A, i, k)/mymatrix_get(A, k, k) for
5        $j \leftarrow k + 1$  to  $\min(n, k + A.l)$  do
6         mymatrix_set(A, i, j,
7           mymatrix_get(A, i, j) - mult · mymatrix_get(A, k, j) )
8   b[i] -= mult · b[k]
9 //Obliczenie x
9 x[A.n] = b[n] / mymatrix_get(A, A.n, A.n)
10 for  $i \leftarrow A.n - 1$  to 0 do
11   s = 0
12   for  $j \leftarrow i + 1$  to  $\min(n, i + 2 \cdot A.l)$  do
13     s += mymatrix_get(A, i, j)*x[j]
14   x[i] = (b[i] - s)/mymatrix_get(A, i, i)
```

Na macierzy wykonywane są operacje mające na celu wyzerowanie elementów znajdujących się pod przekątną. W k -tej iteracji odejmujemy od rzędów $i > k$ wielokrotność $mult$ rzędu k . Wiedząc, że wszystkie wartości dla rzędów $h > k + l$ można skrócić wewnętrzne pętle do max $O(l)$ iteracji. W ten sposób otrzymujemy macierz górną trójkątną w czasie $O(n \cdot l^2)$, czyli dla stałego l jest to $O(n)$. Następnie ze złożonością obliczeniową $O(n * l)$ odbywa się obliczenie wyniku x korzystając ze wzoru:

$$x_n = \frac{b_n}{A_{n,n}}$$
$$x_i = (b_i - \sum_{j=i+1}^n x_j) / a_{i,i}$$

Dzięki specyficznej budowie macierzy sprowadzonego do:

$$x_n = \frac{b_n}{A_{n,n}}$$
$$x_i = (b_i - \sum_{j=i+1}^{\min(n, j+l)} x_j) / a_{i,i}$$

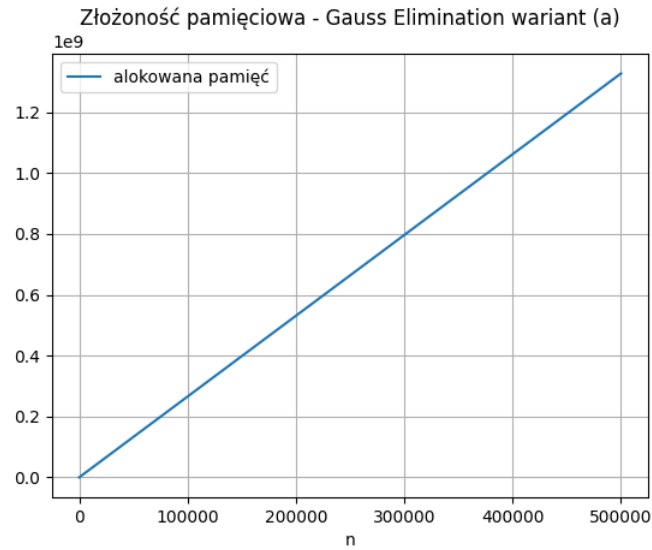
3.1.2 Testy

Rozmiar n macierzy A	Błąd względny \hat{x}
16	6.906622391776103e-15
50000	1.5393951981921677e-13
100000	4.681482376769146e-14
300000	5.066539517131064e-13
500000	1.2844098793303182e-13

Powyższa tabela przedstawia błąd względny uzyskany przy obliczaniu wektora prawych stron b dla różnych rozmiarów macierzy A , ze wzoru $b = Ax$, gdzie

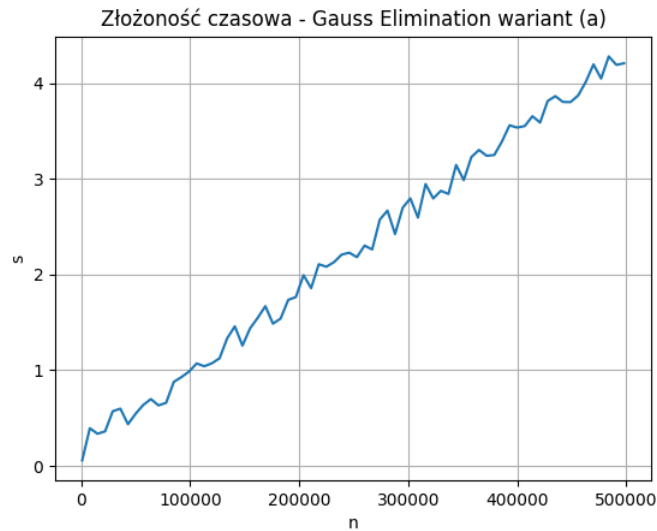
$x = (1, \dots, 1)^T$.

Złożoność pamięciowa została obliczona makrem @timed w języku Julia, które zwraca informacje o alokowanej liczbie bajtów. Testy przeprowadzono dla macierzy A oraz wektora prawych stron b o rozmiarze od 1000 do 500000.

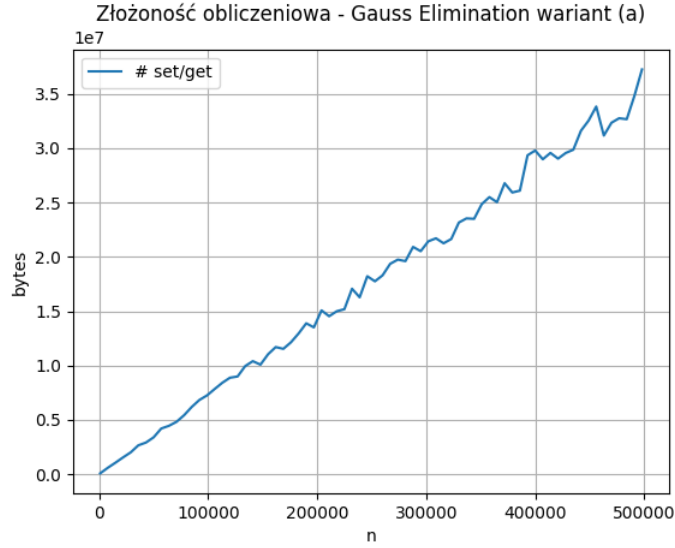


Widać, że zgodnie z przeprowadzonymi obliczeniami złożoność pamięciowa to $O(n)$.

Do obliczenia złożoności czasowej również zostało wykorzystane makro @timed.



Do obliczenia złożoności obliczeniowej została użyta liczba odwołań do elementów macierzy A :



Wszystkie wykresy potwierdzają liniową złożoność obliczeniową oraz pamięciową algorytmu.

3.2 Zmodyfikowany algorytm eliminacji Gaussa (b)

3.2.1 Opis i złożoność obliczeniowa

Ten wariant algorytmu eliminacji Gaussa jest rozwinięty o częściowy wybór głównego elementu co pomaga rozwiązać problem wykonywania działań na bardzo małych wartościach na przekątnej macierzy co mogło powodować niedokładność w obliczeniach. Celem jest wyznaczenie wiersza p , dla którego:

$$|A_{p,k}| = \max_{k \leq i \leq n} |A_{i,k}|$$

W przypadku specyficznej budowy macierzy A wystarczy:

$$|A_{p,k}| = \max_{k \leq i \leq \min(n, k+l)} |A_{i,k}|$$

Co zmniejsza nam obszar poszukiwań maksymalnej wartości do nie więcej niż l wartości. Po znalezieniu p następuje zamiana wierszy p oraz k w macierzy A oraz w wektorze prawych stron b . Implementacja algorytmu eliminacji Gaussa z częściowym wyborem elementu głównego:

Algorithm 4: gauss_elimination (b)

```
1 for  $k \leftarrow 1$  to  $A.n - 1$  do
2   //Wyznaczenie elementu głównego
3   main_elem_row = k
4   for  $i \leftarrow k + 1$  to  $\min(n, k + A.l)$  do
5     if  $\text{mymatrix\_get}(A, i, k) \neq \text{mymatrix\_get}(A,$ 
6        $\text{main\_elem\_row}, k)$  then
7       main_elem_row = i
8   mymatrix_swap_rows(A, k, main_elem_row)
9   swap(b[k], b[main_elem_row])
10  for  $i \leftarrow k + 1$  to  $\min(n, k + A.l)$  do
11    mult = mymatrix_get(A, i, k)/mymatrix_get(A, k, k) for
12       $j \leftarrow k + 1$  to  $\min(n, k + 2 \cdot A.l)$  do
13      mymatrix_set(A, i, j,
14        mymatrix_get(A, i, j) - mult · mymatrix_get(A, k, j) )
15    b[i] -= mult · b[k]
```

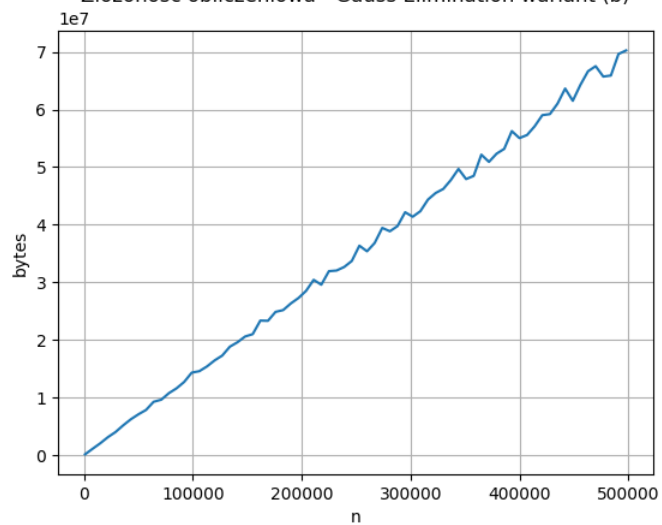
Dzięki skróceniu dodanej pętli uzyskano złożoność obliczeniową $O(n \cdot l^2)$ co przy stałej wartości l daje liniową złożoność $O(n)$. Wyznaczenie wartości wektora x przebiega w taki sam sposób jak w poprzedniej wersji algorytmu.

3.2.2 Testy

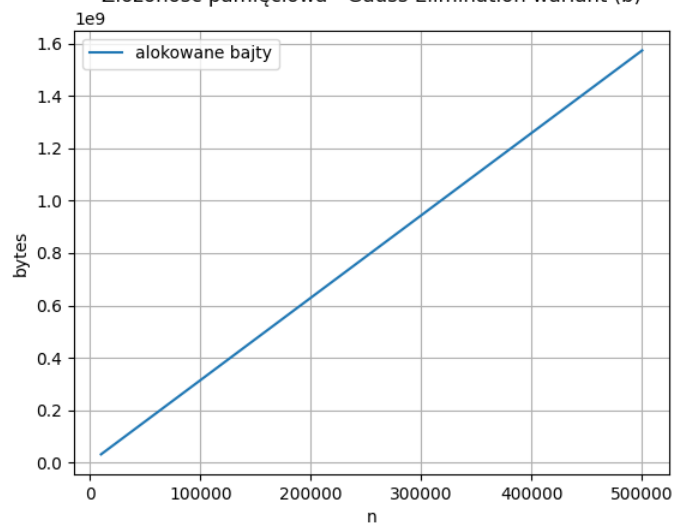
Poniższa tabela przedstawia błąd względny uzyskany przy obliczaniu wektora prawych stron b dla różnych rozmiarów macierzy A , ze wzoru $b = Ax$, gdzie $x = (1, \dots, 1)^T$, porównane z rezultatami dla poprzedniego wariantu. Widoczna jest poprawa pod względem błędu względnego, tzn. jest on mniejszy dla wariantu z częściowym wyborem elementu głównego.

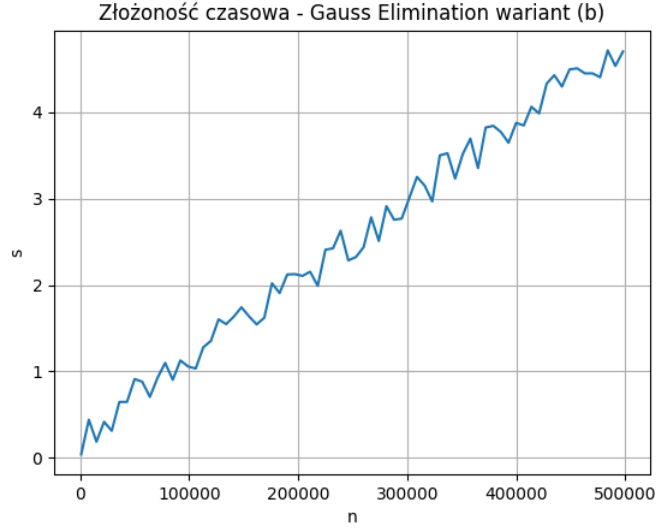
Rozmiar n macierzy A	Błąd względny \hat{x} wariant (a)	Błąd względny \hat{x} wariant (b)
16	6.906622391776103e-15	3.744431865468923e-16
50000	1.5393951981921677e-13	4.057095823578191e-16
100000	4.681482376769146e-14	2.986658830105658e-16
300000	5.066539517131064e-13	4.006581448861896e-16
500000	1.2844098793303182e-13	3.983755283200343e-16

Złożoność obliczeniowa - Gauss Elimination wariant (b)



Złożoność pamięciowa - Gauss Elimination wariant (b)





4 Rozkład LU

Podejście to polega na wyznaczeniu podziału macierzy $A = LU$ na macierz dolnotrójkątną L oraz górnortrójkątną U . Istnieje wtedy możliwość wyznaczenia rozwiązania poprzez rozwiązanie dwóch równań:

$$\begin{aligned} Lz &= b \\ Ux &= z \end{aligned}$$

Wyznaczony rozkład prezentuje się następująco:

$$LU = \begin{bmatrix} A'_{1,1} & A'_{1,2} & A'_{1,3} & \dots & A'_{1,n} \\ l_{2,1} & A'_{2,2} & A'_{2,3} & \dots & A'_{2,n} \\ l_{3,1} & l_{3,2} & A'_{2,3} & \dots & A'_{2,n} \\ \vdots & \vdots & \ddots & \ddots & \vdots \\ l_{n,1} & l_{n,2} & \dots & l_{n,n-1} & A'_{n,n} \end{bmatrix}, \quad (2)$$

W strukturze MyMatrix zapisywane są wszystkie niezerowe bloki $A'_{i,j}$ oraz mnożniki wykorzystane do ich uzyskania, a $l_{i,j}$ jest obliczane ze wzoru $l_{i,j} = \frac{A_{i,j}}{A_{j,j}}$. Zachowana jest więc złożoność pamięciowa $O(n)$ do przechowywania rozkładu LU .

4.1 Algorytm wyznaczania rozkładu - wariant (a)

4.1.1 Opis i złożoność obliczeniowa

Można zauważyć, że podczas poprzedniego algorytmu eliminacji Gaussa zostaje wyznaczona macierz górna trójkątna U . Możemy, więc z niego skorzystać wprowadzając jedynie zapisywanie mnożników w wektorze B struktury `MyMatrix`.

Algorithm 5: gauss.LU (a)

```
1 for  $k \leftarrow 1$  to  $A.n - 1$  do
2   for  $i \leftarrow k + 1$  to  $\min(n, k + A.l)$  do
3     mult = mymatrix.get(A, i, k)/mymatrix.get(A, k, k)
4     mymatrix.set(A, i, k, mult)
5     for  $j \leftarrow k + 1$  to  $\min(n, k + A.l)$  do
6       mymatrix.set(A, i, j,
7         mymatrix.get(A, i, j) - mult · mymatrix.get(A, k, j) )
```

Algorytm różni się jedynie dodaniem jednego wywołanie `mymatrix.set` oraz usunięciem modyfikacji wektora prawych stron b w środkowej pętli. Złożoność obliczeniowa to $O(n \cdot l^2)$, czyli $O(n)$ dla stałego l .

Następnymi krokami do rozwiązania równania z użyciem rozkładu LU jest rozwiązanie równań $Lz = b$ oraz $Ux = z$. Wykorzystując zapisane wcześniej mnożniki wyznaczone są kolejne wartości wektora z poprzez obliczenie złożenia wszystkich przekształceń L .

$$L^{(n-1)^{-1}} \dots L^{(2)^{-1}} L^{(1)^{-1}} = L$$

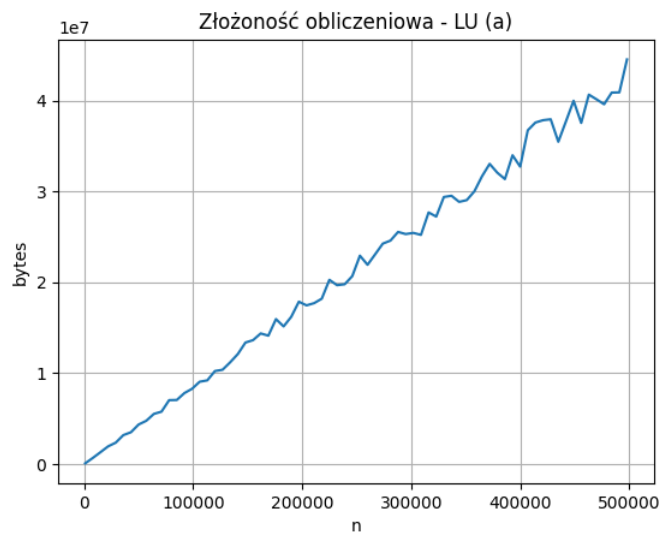
Algorithm 6: Rozwiązanie $Lz = b$

```
1 z = copy(b)
2 for  $k \leftarrow 1$  to  $A.n - 1$  do
3   for  $i \leftarrow k + 1$  to  $\min(n, k + A.l)$  do
4      $z[i] = z[i] - z[k] \cdot \text{mymatrix.get}(A, i, k)$ 
```

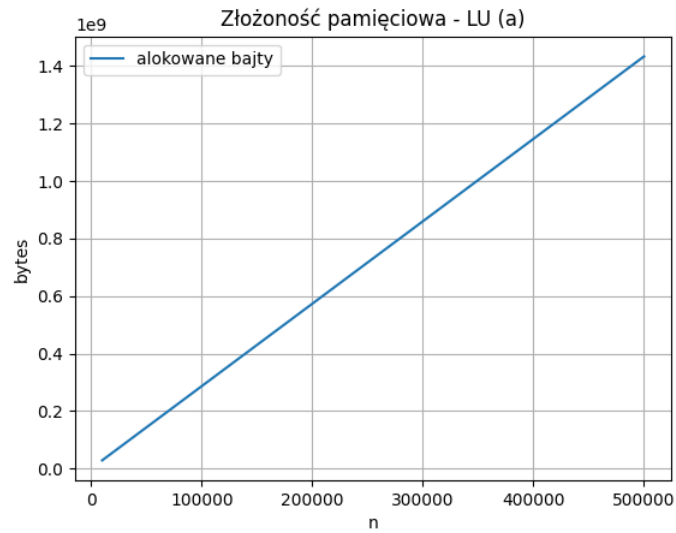
Z obliczonym z możemy użyć identycznego algorytmu jak w poprzedniej sekcji do rozwiązania $Ux = z$ zamiast $Ax = b$. Ten krok, więc również ma złożoność obliczeniową $O(n)$.

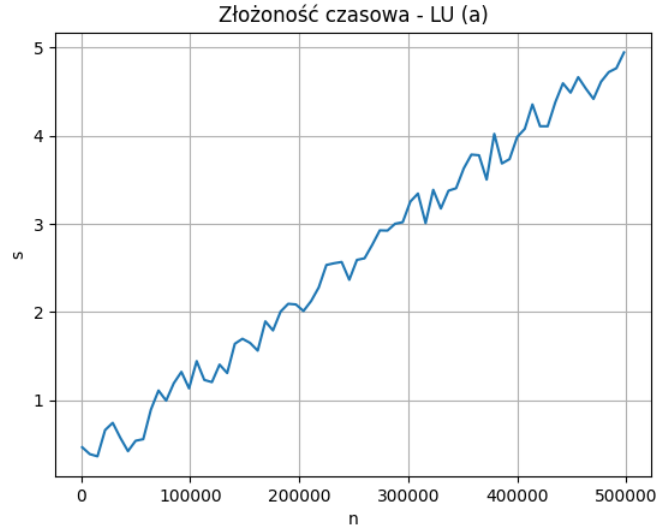
4.1.2 Testy

Rozmiar n macierzy A	Błąd względny \hat{x}
16	6.906622391776103e-15
50000	1.5393951981921677e-13
100000	4.681482376769146e-14
300000	5.066539517131064e-13
500000	1.2844098793303182e-13



/be





4.2 Algorytm wyznaczania rozkładu - wariant (b)

4.2.1 Opis i złożoność obliczeniowa

Tak jak w wariancie (b) dla algorytmu eliminacji Gaussa również przy wyznaczaniu rozkładu LU można zastosować częściowy wybór elementu głównego co pozwoli uniknąć działań na małych wartościach z przekątnej macierzy. Wybór odbywa się w identyczny sposób:

Algorithm 7: gauss.LU (b)

```

1 for  $k \leftarrow 1$  to  $A.n - 1$  do
2   main_elem_row =  $k$ 
3   for  $i \leftarrow k + 1$  to  $\min(n, k + A.l)$  do
4     if  $\neg \text{mymatrix\_get}(A, i, k) \wedge \neg \text{mymatrix\_get}(A,$ 
       main_elem_row,  $k)$  then
5       main_elem_row =  $i$ 
6   mymatrix_swap_rows( $A, k, \text{main\_elem\_row}$ )
7   swap( $b[k], b[\text{main\_elem\_row}]$ )
8   for  $i \leftarrow k + 1$  to  $\min(n, k + A.l)$  do
9     ...
10    for  $j \leftarrow k + 1$  to  $\min(n, k + 2 \cdot A.l)$  do
11      ...

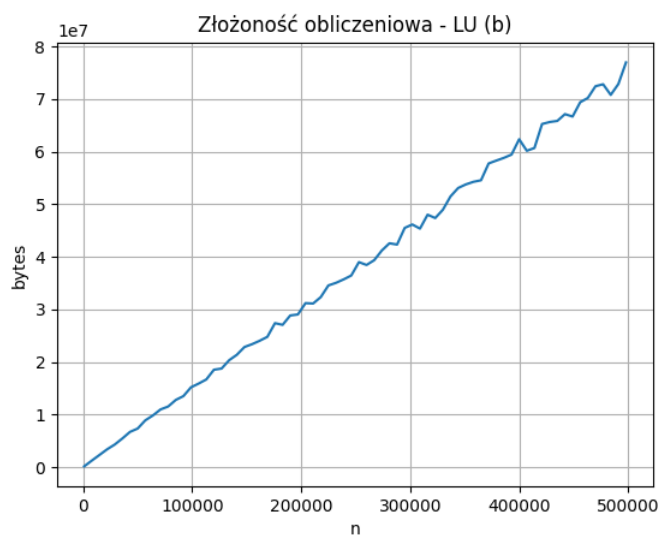
```

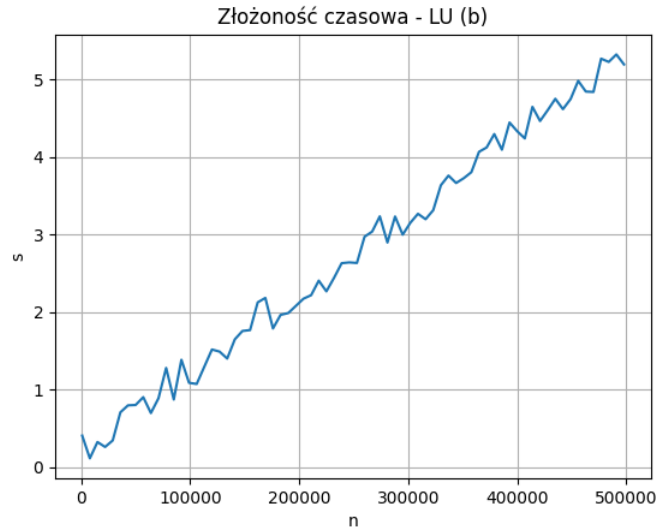
Dodanie wewnętrznej pętli o złożoności $O(l)$ nadal daje liniową złożoność obliczeniową całego algorytmu $O(n)$ dla stałego l . Dalsze kroki pozostają bez zmian.

4.2.2 Testy

Tabela zawiera porównanie wariantu (a) z wariantem (b):

Rozmiar n macierzy A	Błąd względny \hat{x} wariant (a)	Błąd względny \hat{x} wariant (b)
16	6.906622391776103e-15	3.744431865468923e-16
50000	1.5393951981921677e-13	4.057095823578191e-16
100000	4.681482376769146e-14	2.986658830105658e-16
300000	5.066539517131064e-13	4.006581448861896e-16
500000	1.2844098793303182e-13	3.983755283200343e-16



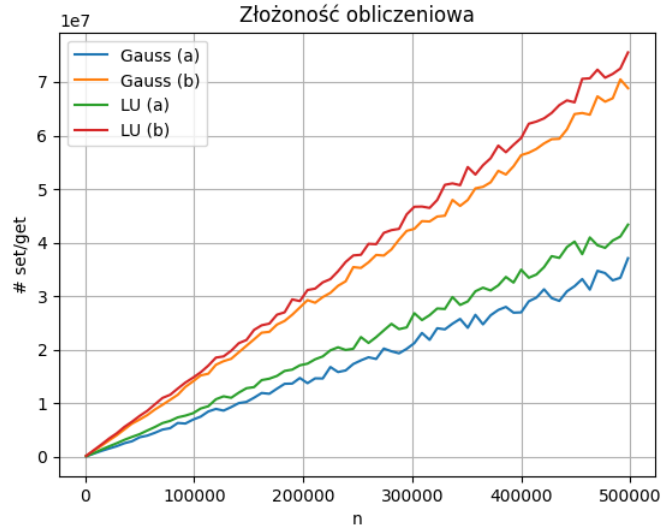


Złożoność pamięciowa jest niezmienna względem wariantu (a).

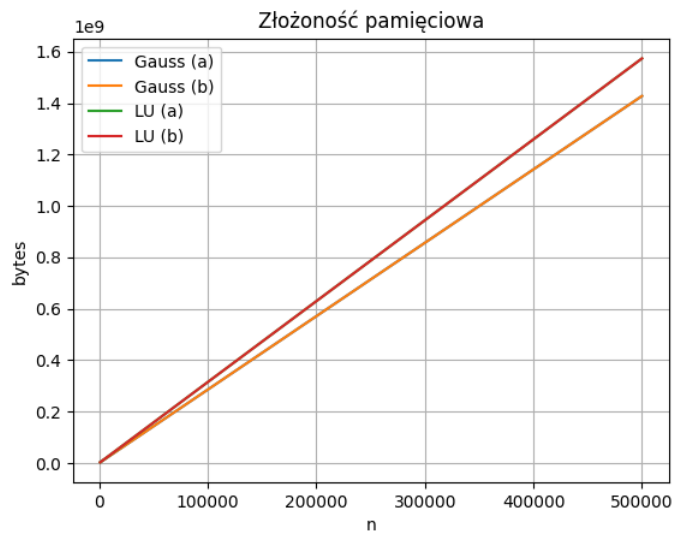
5 Podsuwowanie testów

Do zdobycia danych zostały wykorzystane zawarte w module funkcje:

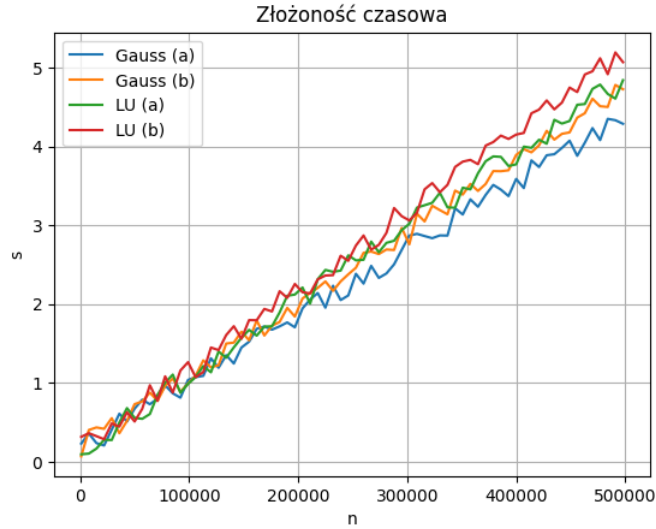
- **solve_and_save**
Zapisuje w pliku tekstowym obliczone rozwiązanie x oraz błąd względny obliczonego b , gdzie macierz A była czytana z pliku, a wektor prawych stron b był obliczany $b = Ax$, gdzie $x = (1, \dots, 1)^T$
- **solve_and_save_2**
Odczytuje z pliku A oraz b i zapisuje w pliku tekstowym rozwiązanie $Ax = b$ oraz błąd względny.



Jak widać oba warianty algorytmu z rozkładem LU wypadają lekko gorzej od odpowiadających wariantów rozwiązania poprzez eliminację Gaussa. Pamiętając jednak rozkład LU dla macierzy A możliwe jest dużo szybsze obliczenie x dla różnych wektorów b . Warianty z wyborem elementu głównego wymagały ponad 2 razy więcej operacji set/get ze względu na zamianę rzędów macierzy.



Dzięki wykorzystaniu struktury MyMarix we wszystkich algorytmach osiągnięto złożoność pamięciową $O(n)$. Algorytmy z rozkładem LU alokowały trochę więcej bajtów na wektor y przy rozwiązywaniu $Ly = b$.



Również czas wykonania algorytmów rósł liniowo. Rozwiązywanie poprzez obliczenie rozkładu LU trwało dłużej jednak posiadając rozkład jesteśmy w stanie szybko obliczyć x z równania $Ax = b$, dla różnych wektorów prawych stron b bez ponownego wykonywania algorytmu eliminacji Gaussa. Oczywiście warianty z częściowym wyborem ze względu na dodatkowe operacje potrzebowały więcej czasu niż wariant podstawowy.

6 Wnioski

Odpowiednia analiza problemu i danych wejściowych może pozwolić na modyfikację znanego algorytmu w sposób znacznie zwiększający wydajność. W tym przypadku udało się wykorzystać specyficzną budowę macierzy A do zejścia ze złożoności obliczeniowej $O(n^3)$ do $O(n \cdot l^2)$ co przy stałej wartości l zapewniało liniową złożoność. Również złożoność pamięciowa okazała się liniowa zamiast kwadratowej dzięki wykorzystaniu specjalnej struktury przechowującej tylko znaczące informacje o macierzy.